

### 3. Směrové vazební členy (odbočnice)

#### 3.1. Ideální směrová odbočnice

Věta o existenci ideální směrové odbočnice, viz např. [45]:

"Reciproký bezeztrátový a totálně přizpůsobený čtyřbran je ideální směrová odbočnice."

Může existovat takový čtyřbran, který je:

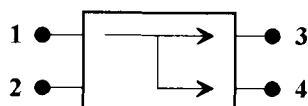
- přizpůsobený
- výkon vstupující do jedné brány vystupuje pouze dalšími dvěma bránami, ze zbývajících brány žádný výkon nevystupuje
- součet vystupujících výkonů se rovná vstupujícímu výkonu

Odpovídající rozptylová matice ( $S$ ) má vlastnosti:

- symetrická, tj.  $S_{ij} = S_{ji} \Rightarrow$  reciprocita
- diagonální prvky jsou nulové, tj.  $S_{ii} = 0 \Rightarrow$  přizpůsobení
- unitární, tj.  $(S^*)^T \cdot S = (1) \Rightarrow$  bezeztrátovost
- kromě 0 na diagonále je v každém řádku a sloupci ještě jeden prvek nulový, tj. neexistuje vazba mezi příslušnými dvěma bránami

#### Tři druhy směrovosti

- směrovost 1. druhu



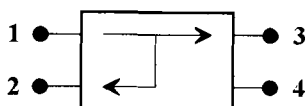
Obr. 3.1.1

$$(S)_1 = \begin{pmatrix} 0 & 0 & S_{13} & S_{14} \\ 0 & 0 & S_{23} & S_{24} \\ S_{13} & S_{23} & 0 & 0 \\ S_{14} & S_{24} & 0 & 0 \end{pmatrix}$$

$$S_{11} = S_{22} = S_{33} = S_{44} = 0$$

$$S_{12} = S_{21} = S_{34} = S_{43} = 0 \quad (3.1.1)$$

- směrovost 2. druhu



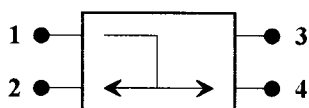
Obr. 3.1.2.

$$(S)_2 = \begin{pmatrix} 0 & S_{12} & S_{13} & 0 \\ S_{12} & 0 & 0 & S_{24} \\ S_{13} & 0 & 0 & S_{34} \\ 0 & S_{24} & S_{34} & 0 \end{pmatrix}$$

$$S_{11} = S_{22} = S_{33} = S_{44} = 0$$

$$S_{14} = S_{41} = S_{23} = S_{32} = 0 \quad (3.1.2)$$

- směrovost 3. druhu



Obr. 3.1.3.

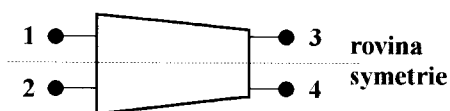
$$(S)_{3.} = \begin{pmatrix} 0 & S_{12} & 0 & S_{14} \\ S_{12} & 0 & S_{23} & 0 \\ 0 & S_{23} & 0 & S_{34} \\ S_{14} & 0 & S_{34} & 0 \end{pmatrix}$$

$$\begin{aligned} S_{11} &= S_{22} = S_{33} = S_{44} = 0 \\ S_{13} &= S_{31} = S_{24} = S_{42} = 0 \end{aligned} \quad (3.1.3)$$

### 3.2. Reálná odbočnice

Žádný prvek v rozptylové matici není nulový! Pro úplný popis vlastností odbočnice nutných 10 komplexních parametrů.

#### a) Odbočnice s jednou rovinou symetrie



Obr. 3.2.1.

$$(S) = \begin{pmatrix} S_{11} & S_{12} & S_{13} & S_{14} \\ S_{12} & S_{11} & S_{14} & S_{13} \\ S_{13} & S_{14} & S_{33} & S_{34} \\ S_{14} & S_{13} & S_{34} & S_{33} \end{pmatrix}$$

(3.2.1)

Vzhledem k symetrii platí:

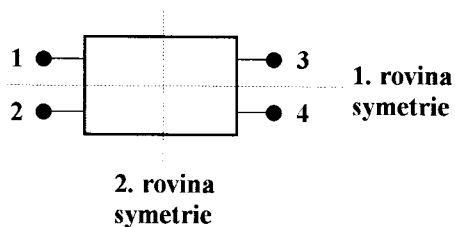
$$S_{11} = S_{22}, \quad S_{33} = S_{44}, \quad S_{13} = S_{24}, \quad S_{14} = S_{23}$$

Z důvodů reciprocity je  $S_{ij} = S_{ji}$ .

Pro úplný popis vlastností odbočnice tedy stačí 6 komplexních parametrů:

$$S_{11}, S_{33}, S_{13}, S_{14}, S_{12}, S_{34}.$$

#### b) Odbočnice se dvěma rovinami symetrie



Obr. 3.2.2.

$$S = \begin{pmatrix} S_{11} & S_{12} & S_{13} & S_{14} \\ S_{12} & S_{11} & S_{14} & S_{13} \\ S_{13} & S_{14} & S_{11} & S_{12} \\ S_{14} & S_{13} & S_{12} & S_{11} \end{pmatrix}$$

(3.2.2)

Vzhledem k symetrii platí:

$$S_{11} = S_{22} = S_{33} = S_{44}, \quad S_{12} = S_{34}, \quad S_{13} = S_{24}, \quad S_{14} = S_{23}$$

Z důvodů reciprocity je  $S_{ij} = S_{ji}$ .

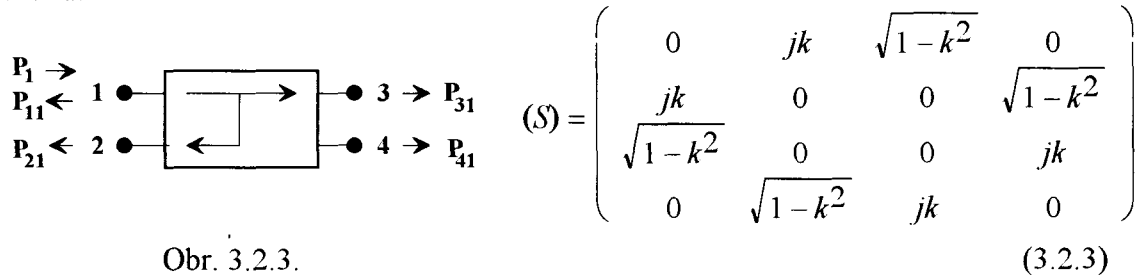
Pro úplný popis vlastností odbočnice tedy stačí pouze 4 komplexní parametry:

$$S_{11}, S_{12}, S_{13}, S_{14}.$$

Pozn.

Ideální směrová odbočnice se dvěma kolmými rovinami symetrie je tzv. kvadrurní člen, jehož výstupní signály jsou vzájemně fázově posunuty o  $\pi/2$ .

Příklad ideální směrové odbočnice se dvěma kolmými rovinami symetrie a směrovostí 2. druhu.



Obr. 3.2.3.

$k = |S_{12}|$  je napětový koeficient přenosu do vazebního ramene.

Reálná odbočnice má rozptylovou matici podle (3.2.2).

### c) Technické parametry reálné odbočnice

1. Vložný útlum (insertion loss).

$$IL = 10 \log \frac{P_1}{P_{31}} = 20 \log \frac{1}{|S_{31}|} \quad [\text{dB}] \quad (3.2.4)$$

2. Vazební útlum (coupling).

$$C = 10 \log \frac{P_1}{P_{21}} = 20 \log \frac{1}{|S_{21}|} \quad [\text{dB}] \quad (3.2.5)$$

3. Izolace (isolation).

$$I = 10 \log \frac{P_1}{P_{41}} = 20 \log \frac{1}{|S_{41}|} \quad [\text{dB}] \quad (3.2.6)$$

4. Směrovost (directivity).

$$D = 10 \log \frac{P_{21}}{P_{41}} = 20 \log \frac{|S_{21}|}{|S_{41}|} \quad [\text{dB}] \quad (3.2.7)$$

$$I = C + D \quad (3.2.8)$$

5. Zpětný útlum, odrazné ztráty (return loss).

$$RL = 10 \log \frac{P_1}{P_{11}} = 20 \log \frac{1}{|S_{11}|} \quad [\text{dB}] \quad (3.2.9)$$

6. Vstupní PSV (VSWR).

$$PSV = \frac{1+|S_{11}|}{1-|S_{11}|} \quad (3.2.10)$$

### 3.3. Směrová odbočnice z vázaných vedení

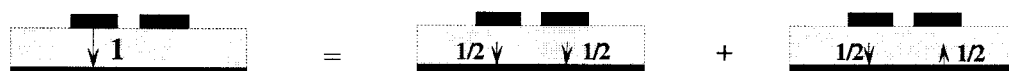
#### a) Princip činnosti směrové odbočnice a odvození S-parametrů

Směrové účinky vznikají v důsledku superpozice dvou vidů elektromagnetického pole vybuděných ve struktuře. Fázové poměry ve struktuře jsou navrženy tak, že v některém výstupním ramenu se dílčí příspěvky sčítají v jiném izolujícím ramenu odčítají. Bez újmy na obecnosti metody bude odvození provedeno pro mikropáskovou odbočnici se dvěma kolmými rovinami symetrie.

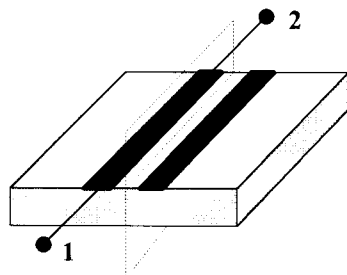


Obr. 3.3.1. a) sudé buzení do obou pásků - vybudí se pouze sudý vid  
b) liché buzení do obou pásků - vybudí se pouze lichý vid

V případě nesymetrického buzení pouze do jedné brány se vybudí oba vidy, ale s poloviční amplitudou, [56], [57], [58], vycházející z [55].



Obr. 3.3.2. Nesymetrické buzení v jedné bráně odbočnice.



Obr. 3.3.3. Dvoubran tvořený jedním páskem.

Každý z dvojice pásků je dvoubran s vlastní ( $S$ ) maticí pro každý vid.

Matice necht'  $(S^{++})$  odpovídá sudému vidu.

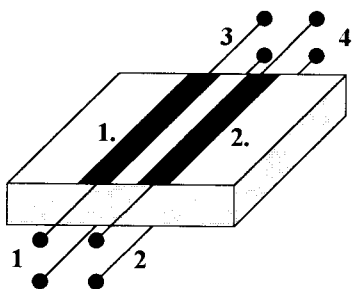
Matice necht'  $(S^{+-})$  odpovídá lichému vidu.

$$(S^{++}) = \begin{pmatrix} S_{11}^{++} & S_{12}^{++} \\ S_{21}^{++} & S_{22}^{++} \end{pmatrix} \quad (3.3.1)$$

$$(S^{+-}) = \begin{pmatrix} S_{11}^{+-} & S_{12}^{+-} \\ S_{21}^{+-} & S_{22}^{+-} \end{pmatrix} \quad (3.3.2)$$

Tyto matice jsou reciproké, tj.  $S_{12}^{++} = S_{21}^{++}$  a  $S_{12}^{+-} = S_{21}^{+-}$ .

Výsledné elmg. pole celé odbočnice je dáný superpozicí dílčích polí obou vidů.



Obr. 3.3.4. Směrová odbočnice.

Při buzení směrové odbočnice do brány 1 podle obr. 3.3.2. budou celkové S-parametry odbočnice z obr. 3.3.4. určeny vztahy:

$$S_{11} = \frac{1}{2} (S_{11}^{++} + S_{11}^{+-}) \quad \text{sčítají se **souhlasně** buzená pole na 1. pásku} \quad (3.3.3)$$

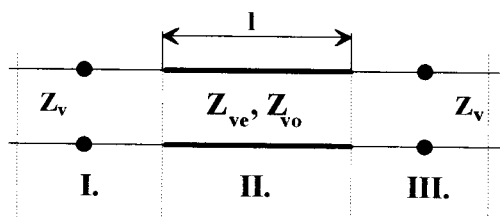
$$S_{12} = \frac{1}{2} (S_{11}^{++} - S_{11}^{+-}) \quad \text{sčítají se **opačně** buzená pole na 2. pásku} \quad (3.3.4)$$

$$S_{13} = \frac{1}{2} (S_{12}^{++} + S_{12}^{+-}) \quad \text{sčítají se **souhlasně** buzená pole na 1. pásku} \quad (3.3.5)$$

$$S_{14} = \frac{1}{2} (S_{12}^{++} - S_{12}^{+-}) \quad \text{sčítají se **opačně** buzená pole na 2. pásku} \quad (3.3.6)$$

**Určení  $(S^{++})$  a  $(S^{+-})$  matic dvoubranů samostatných pásků**

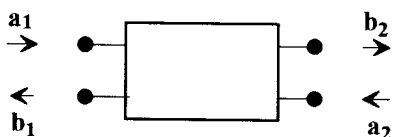
Každý ze samostatných pásků představuje kaskádní spojení 3 dvoubranů.



Obr. 3.3.5. Model dvoubranu jednoho pásku.

Výslednou ( $S$ ) matici kaskády lze získat pomocí vlnové přenosové matice.

Vztah rozptylové a vlnové přenosové matice.



$$\begin{pmatrix} b_1 \\ b_2 \end{pmatrix} = \begin{pmatrix} S_{11} & S_{12} \\ S_{21} & S_{22} \end{pmatrix} \begin{pmatrix} a_1 \\ a_2 \end{pmatrix} \quad \begin{pmatrix} a_1 \\ b_1 \end{pmatrix} = \begin{pmatrix} t_{11} & t_{12} \\ t_{21} & t_{22} \end{pmatrix} \begin{pmatrix} b_2 \\ a_2 \end{pmatrix} \quad (3.3.7)$$

$$(S) = \frac{1}{t_{11}} \begin{pmatrix} t_{21} & \det(t) \\ 1 & -t_{12} \end{pmatrix} \quad (t) = \frac{1}{S_{21}} \begin{pmatrix} 1 & -S_{22} \\ S_{11} & -\det(S) \end{pmatrix} \quad (3.3.8)$$

Výsledná vlnová přenosová matice kaskádně spojených dvoubranů je rovna součinu dílčích vlnových přenosových matic.

---

Podle obr. 3.3.5. platí:

$$(te,o)_I = \frac{1}{2\sqrt{r_{e,o}}} \begin{pmatrix} r_{e,o} + 1 & r_{e,o} - 1 \\ r_{e,o} - 1 & r_{e,o} + 1 \end{pmatrix} \quad (3.3.9)$$

kde

$$r_e = \frac{Z_{ve}}{Z_v} \quad \text{a} \quad r_o = \frac{Z_{vo}}{Z_v} \quad (3.3.10)$$

$$(te,o)_{II} = \begin{pmatrix} e^{j\vartheta_{e,o}} & 0 \\ 0 & e^{-j\vartheta_{e,o}} \end{pmatrix} \quad (3.3.11)$$

kde

$$\vartheta_e = \left( -j\beta_e + \frac{2\pi}{\lambda_{ge}} \right) \cdot l, \quad \vartheta_o = \left( -j\beta_o + \frac{2\pi}{\lambda_{go}} \right) \cdot l \quad (3.3.12)$$

$$(te,o)_{III} = \frac{1}{2\sqrt{r_{e,o}}} \begin{pmatrix} r_{e,o} + 1 & -(r_{e,o} - 1) \\ -(r_{e,o} - 1) & r_{e,o} + 1 \end{pmatrix} \quad (3.3.13)$$

Neboť pro dvoubran napájený z opačné strany je:

$$(t)_{\leftarrow} = \frac{1}{\det(t)} \begin{pmatrix} t_{11} & -t_{21} \\ -t_{12} & t_{22} \end{pmatrix} \quad (3.3.14)$$

Pro celkovou vlnovou přenosovou matici pak platí pro oba vidy:

$$(te,o) = (te,o)_I \cdot (te,o)_{II} \cdot (te,o)_{III} \quad (3.3.15)$$

Výsledné t-parametry této matice se při použití (3.3.8) dosadí do (3.3.3) až (3.3.6).

### Určení výsledných S-parametrů celé odbočnice

$$S_{11} = \frac{1}{2} \cdot (S_{11}^{++} + S_{11}^{+-}) = \frac{1}{2} \cdot \left( \frac{t_{21}^{++}}{t_{11}^{++}} + \frac{t_{21}^{+-}}{t_{11}^{+-}} \right) \quad (3.3.16a)$$

$$S_{12} = \frac{1}{2} \cdot (S_{11}^{++} - S_{11}^{+-}) = \frac{1}{2} \cdot \left( \frac{t_{21}^{++}}{t_{11}^{++}} - \frac{t_{21}^{+-}}{t_{11}^{+-}} \right) \quad (3.3.16b)$$

$$S_{13} = \frac{1}{2} \cdot (S_{12}^{++} + S_{12}^{+-}) = \frac{1}{2} \cdot \left( \frac{1}{t_{11}^{++}} + \frac{1}{t_{11}^{+-}} \right) \quad (3.3.17a)$$

$$S_{14} = \frac{1}{2} \cdot (S_{12}^{++} - S_{12}^{+-}) = \frac{1}{2} \cdot \left( \frac{1}{t_{11}^{++}} - \frac{1}{t_{11}^{+-}} \right) \quad (3.3.17b)$$

$$S_{33} = \frac{1}{2} (S_{22}^{++} + S_{22}^{+-}) = \frac{-1}{2} \left( \frac{t_{21}^{++}}{t_{11}^{++}} + \frac{t_{21}^{+-}}{t_{11}^{+-}} \right) \quad (3.3.18a)$$

$$S_{34} = \frac{1}{2} (S_{22}^{++} - S_{22}^{+-}) = \frac{-1}{2} \left( \frac{t_{21}^{++}}{t_{11}^{++}} - \frac{t_{21}^{+-}}{t_{11}^{+-}} \right) \quad (3.3.18b)$$

$$\text{Vzhledem k symetrii platí: } S_{33} = S_{11} \text{ a } S_{34} = S_{12}. \quad (3.3.19)$$

Po dosazení:

$$S_{11} = \frac{R_e}{2} \cdot \left( 1 - \frac{1-R_e^2}{\exp(2\beta_e \cdot l) \exp(j2\alpha_e \cdot l) - R_e^2} \right) \pm \frac{R_o}{2} \cdot \left( 1 - \frac{1-R_o^2}{\exp(2\beta_o \cdot l) \exp(j2\alpha_o \cdot l) - R_o^2} \right) \quad (3.3.20)$$

$$S_{12} = \frac{1}{2} \cdot \frac{(1-R_e^2) \cdot \exp(\beta_e \cdot l) \exp(j\alpha_e \cdot l)}{\exp(j2\beta_e \cdot l) \exp(j2\alpha_e \cdot l) - R_e^2} \pm \frac{1}{2} \cdot \frac{(1-R_o^2) \exp(\beta_o \cdot l) \exp(j\alpha_o \cdot l)}{\exp(j2\beta_o \cdot l) \exp(j2\alpha_o \cdot l) - R_o^2} \quad (3.3.21)$$

kde

$$R_e = \frac{Z_{ve} - Z_v}{Z_{ve} + Z_v}, \quad R_o = \frac{Z_{vo} - Z_v}{Z_{vo} + Z_v} \quad (3.3.22)$$

Ideální směrová odbočnice má

$$S_{11} = 0 \text{ a } S_{14} = 0 \quad (3.3.23)$$

Tyto podmínky lze splnit pro  $\alpha_e = \alpha_o$  a  $R_e = -R_o$  při  $\beta = 0$ .

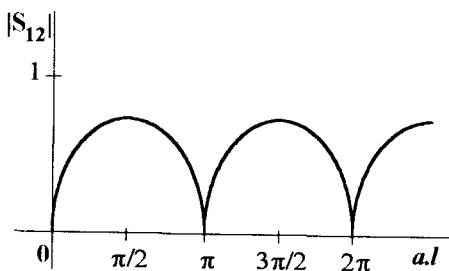
U reálné směrové odbočnice je  $\beta \neq 0$ . Dále:  $\alpha_e = \alpha_o$  platí např. u vázaného symetrického páskového vedení, ne však u vázaného mikropáskového vedení.

Podmínku  $R_e = -R_o$  však splnit lze i u reálné odbočnice. Při použití (3.3.22) pak platí:

$$Z_v = \sqrt{Z_{ve} \cdot Z_{vo}} \quad (3.3.24)$$

### Vliv délky úseku vázaného vedení na vlastnosti odbočnice

Podle (3.3.20) lze odvodit závislost:



Obr. 3.3.6. Závislost modulu vazby na délce vázaného vedení.

Nejmenší frekvenční závislost vazby  $|S_{12}|$  je při  $l = \frac{\lambda_g}{4}$ .

Při  $\alpha_e = \alpha_o$  lze zvolit přesně  $l = \lambda_g/4$ .

Je-li  $\alpha_e \neq \alpha_o$  je nutno volit průměrné  $\alpha = \frac{\alpha_e + \alpha_o}{2}$  a určit:

$$\frac{\alpha_e + \alpha_o}{2} \cdot l = \frac{\pi}{2} \Rightarrow l = \frac{\pi}{\alpha_e + \alpha_o} = \frac{\lambda_{gs}}{4}; \quad \frac{1}{\lambda_{gs}} = \frac{1}{2} \cdot \left( \frac{1}{\lambda_{ge}} + \frac{1}{\lambda_{go}} \right) \quad (3.3.25)$$

Klesá - šířka použitelného frekvenčního pásma  
- směrovost

Pro  $\alpha_e = \alpha_o$ ,  $\beta_{e,o} = 0$  a  $l = \lambda_g/4$  je:

$$S_{12} = \frac{Z_{ve} - Z_{vo}}{Z_{ve} + Z_{vo}}, \quad S_{13} = -j \frac{2R_o}{1 + R_o^2} = -j \frac{2R_e}{1 + R_e^2}, \quad S_{11} = S_{14} = 0 \quad (3.3.26)$$

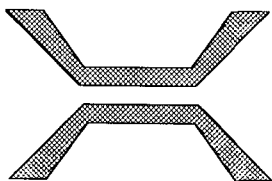
**Jak určit  $Z_{ve}$  a  $Z_{vo}$  pro požadovanou vazbu  $C$ ?**

Z rovnic (3.3.20), (3.3.24) a (3.2.5) lze odvodit:

$$Z_{ve} = Z_v \cdot \sqrt{\frac{1 + 10^{-C/20}}{1 - 10^{-C/20}}} \quad \text{a} \quad Z_{vo} = Z_v \cdot \sqrt{\frac{1 - 10^{-C/20}}{1 + 10^{-C/20}}} \quad (3.3.27)$$

### Různé konstrukční úpravy zlepšující parametry odbočnice

- 1) Vazba musí být pouze na úseku  $l = \lambda_g/4$ . Přívodní vedení se nesmí vzájemně ovlivňovat. Odkloňují se proto o  $45^\circ$ .
- 2) Zmenšení impedančního skoku na vstupu a výstupu vázaných vedení pomocí lineárního impedančního transformátoru. Jeho délka se obvykle volí  $\approx 4w$ .



Obr. 3.3.7. Úprava připojení úseku vázaného vedení pro zmenšení impedančního skoku a potlačení vazby mezi přívodními pásky.



### 3) Metody vyrovnávající fázové rychlosti sudého a lichého vidu

3a) Přídavná dielektrická vrstva se stejnou permitivitou jako základní substrát



Obr. 3.3.8.

3b) Příklad a) doplněný vodivou deskou



Obr. 3.3.9.

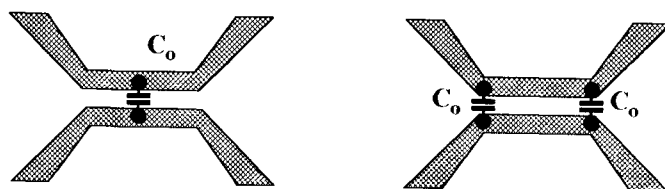
3c) Zmenšení  $\epsilon_{efe}$  pomocí vrstveného substrátu



Obr. 3.3.10.

$$\epsilon_{r2} \ll \epsilon_{r1}$$

3d) Přídavnou kapacitou  $C_o$  mezi pásy se zmenší rychlost lichého vidu

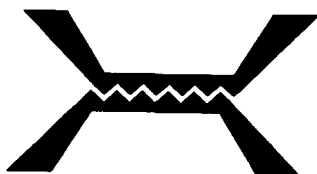


Obr. 3.3.11.

$$v_{fo} = \frac{1}{\sqrt{L(C+C_o)}}$$

Realizace interdigitálním kapacitorem.

3e) Prodloužení délky vazební štěrbiny



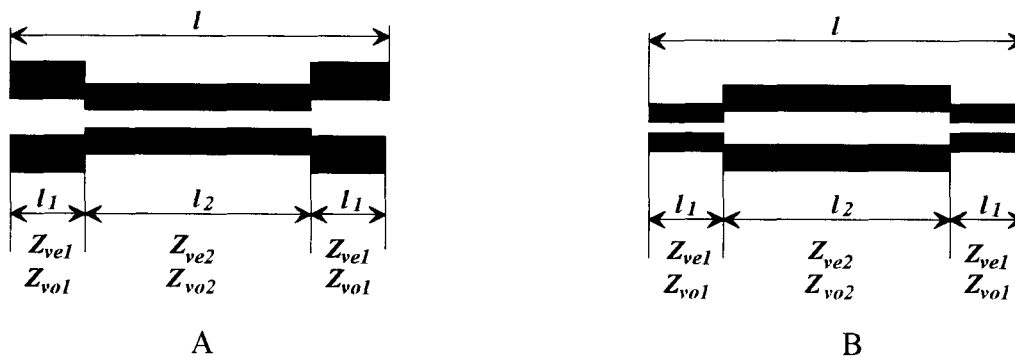
Obr. 3.3.12.

Prodlouží se dráha lichého vidu - proud se koncentruje u vnitřního okraje pásků.

### 3f) Použití kompenzačních vazebních sekcí

Rehmark [46] navrhl realizaci odbočnice ze tří sekcí o dvěma různými vazbami.

$$l \approx \lambda_g/4$$

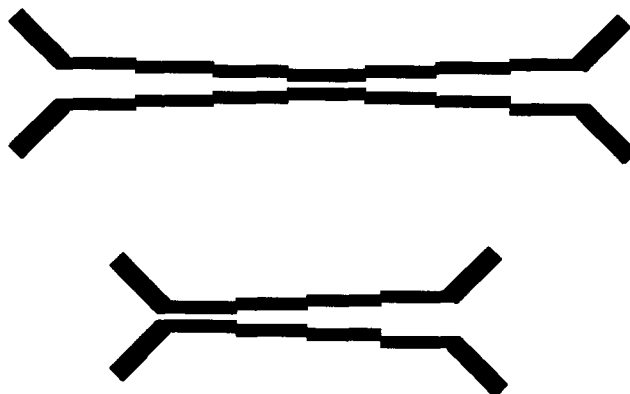


Obr. 3.3.13.

Vhodnou volbou délek úseků vedení a vlnových odporů lze zvýšit směrovost v širším kmitočtovém pásmu. U varianty B lze dosáhnout až  $D > 35$  dB v pásmu 2,3:1.

### 3g) Širokopásmové směrové odbočnice

Vícestupňové odbočnice s různým stupněm vazby v jednotlivých stupních. Elektrická délka stupňů je stejná  $(\alpha_{ei} + \alpha_{oi})/2 = \pi/2$ . S rostoucím počtem sekcí roste šířka pásma, [52], [53], [54].



Obr. 3.3.14. Symetrické a asymetrické širokopásmové směrové odbočnice.

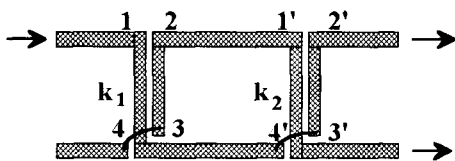
### 3h) Směrové odbočnice se spojitou změnou vazby - limitní případ vícestupňové odbočnice



Obr. 3.3.15.

### 3i) Zvětšení vazby kaskádním spojením více odbočnic

Možnost dosáhnout těsnější vazby pomocí odbočnic s realizovatelnou volnějši vazbou [47], [7], [51].



Obr. 3.3.16.

Platí:

$$S_{12'} = k_1 \cdot k_2 - \sqrt{(1 - k_1^2) \cdot (1 - k_2^2)}$$

$$S_{13'} = -j \cdot \left( k_1 \cdot \sqrt{(1 - k_2^2)} + k_2 \cdot \sqrt{(1 - k_1^2)} \right) \quad (3.3.28)$$

kde sčítanci odpovídají přenosům přes vazbu a přímým propojením

Pro stejné odbočnice je  $k_1 = k_2 = k$  a (3.3.28) lze upravit na:

$$S_{12'} = 2k^2 - 1$$

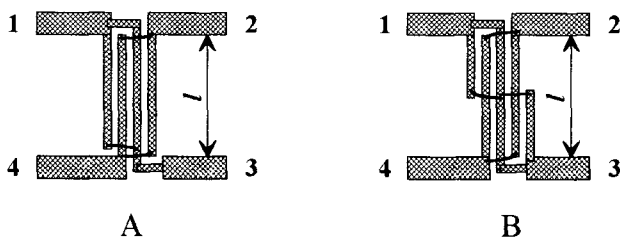
$$S_{13'} = -j2k \cdot \sqrt{1 - k^2} \quad (3.3.29)$$

Pro dosažení celkové vazby 3 dB je  $|S_{12'}| = |S_{13'}| = 1/\sqrt{2}$ . Potom:

$$k = \sqrt{\frac{\sqrt{2} - 1}{2 \cdot \sqrt{2}}} = 0,38268 \sim 8,34 \quad [\text{dB}] \quad (3.3.30)$$

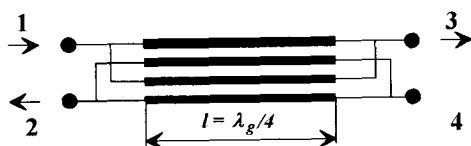
### g) Interdigitální (Langeho) odbočnice

Zvětšením počtu vázaných pásků lze zvýšit vazbu při technologicky přijatelné šířce šterbin, strukturu navrhl Lange, [48].



Obr. 3.3.17.

Náhradní obvod.



Obr. 3.3.18.

Zjednodušenou analýzu struktury při uvažování pouze vazby mezi sousedními pásky navrhl Ou, [49]. Analýza je odvozena na základě vlnových admitancí sudého a lichého vidu. Po přepočtu na odpovídající impedance lze konstatovat:

Pro dobré přizpůsobení a izolaci,  $S_{11} = 0$ ,  $S_{14} = 0$ , musí být splněno:

$$Z_v^2 = \frac{Z_{ve} \cdot Z_{vo} \cdot (Z_{ve} + Z_{vo})^2}{[Z_{ve} + (n-1) \cdot Z_{vo}] \cdot [Z_{vo} + (n-1) \cdot Z_{ve}]} \quad (3.3.31)$$

kde  $Z_{ve}$ ,  $Z_{vo}$  odpovídají samostatné dvojici pásků,  $Z_v$  je vlnový odpor napájecích vedení a  $n$  je vždy sudý počet vazebních pásků (obvykle stačí 4).

Pro koeficient vazby pak platí:

$$k = |S_{12}| = (n-1) \cdot \frac{Z_{ve}^2 - Z_{vo}^2}{2Z_{ve} \cdot Z_{vo} + (n-1)(Z_{ve}^2 + Z_{vo}^2)} \quad (3.3.32)$$

$$C = 20 \cdot \log \frac{1}{k} = 20 \cdot \log \frac{1}{|S_{12}|} \quad (3.3.33)$$

V degenerovaném případě  $n = 2$ :

$$Z_v^2 = Z_{ve} \cdot Z_{vo} \quad (3.3.34)$$

$$k = \frac{Z_{ve} - Z_{vo}}{Z_{ve} + Z_{vo}} \quad (3.3.35)$$

Syntézu struktury popisuje Osmani v [50].

$$Z_{vo} = Z_v \cdot \sqrt{\frac{1-k}{1+k}} \cdot \frac{(n-1) \cdot (1+q)}{(k+q) + (n-1) \cdot (1-k)} \quad (3.3.36)$$

$$Z_{ve} = Z_{vo} \cdot \frac{(k+q)}{(n-1) \cdot (1-k)} \quad (3.3.37)$$

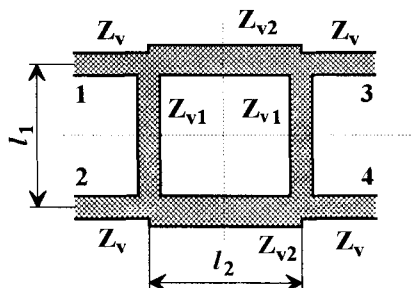
kde

$$q = \sqrt{k^2 + (n-1)^2 \cdot (1-k^2)} \quad (3.3.38)$$

### 3.4. Příčkové vazební členy (Branch Line Couplers).

#### a) Dvoupříčkový vazební člen.

##### Odvození S-parametrů.



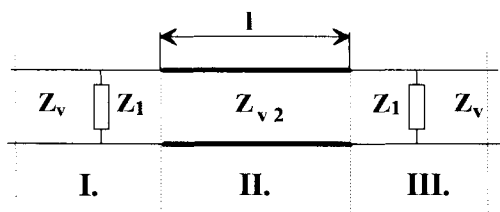
Obr. 3.4.1.

Čtyřbran se směrovostí 1. druhu. Symetrie podle dvou kolmých rovin. K popisu tedy stačí 4 parametry  $S_{11}, S_{12}, S_{13}, S_{14}$ .

Strukturu lze analyzovat stejnou metodou jako u směrového vazebního členu z vázaných vedení, [55], [56], [57], [58].

Při soufázovém napájení ++ mají příčná vedení v rovině symetrie otevřený konec

Při protifázovém napájení +- mají příčná vedení v rovině symetrie zkrat



Obr. 3.4.2. Náhradní obvod 1/2 struktury.

$Z_{1e,o}$  je vstupní impedance  $l_1/2$  dlouhého úseku vedení zakončeného v rovině symetrie:

naprázdno při soufázovém napájení ++

nakrátko při protifázovém napájení +-

$$(te,o)_I = \frac{1}{2\sqrt{r}} \begin{pmatrix} r(1+y_{e,o})+1; & r(1+y_{e,o})-1 \\ r(1-y_{e,o})-1; & r(1-y_{e,o})+1 \end{pmatrix} \quad (3.4.1)$$

kde

$$r = \frac{Z_{v2}}{Z_v}, y_{e,o} = \frac{Z_v}{Z_{1e,o}}$$

$$(te,o)_{II} = \begin{pmatrix} e^{j\vartheta_{e,o}} & 0 \\ 0 & e^{-j\vartheta_{e,o}} \end{pmatrix} \quad (3.4.2)$$

kde

$$\vartheta_{e,o} = \left( -j\beta_{e,o} + \frac{2\pi}{\lambda_{ge,o}} \right) l_2$$

$$(te,o)_{III.} = \frac{1}{\det(t)_{I.}} \cdot \begin{pmatrix} t_{11e,o}^{I.} & -t_{21e,o}^{I.} \\ -t_{12e,o}^{I.} & t_{22e,o}^{I.} \end{pmatrix} \quad (3.4.3)$$

Pro celkovou vlnovou přenosovou matici 1/2 struktury pak platí:

$$(te,o) = (te,o)_{I.} \cdot (te,o)_{II.} \cdot (te,o)_{III.} \quad (3.4.4)$$

Srovnej s (3.3.9) až (3.3.15).

S-parametry celé struktury jsou pak určeny vztahy (3.3.16) až (3.3.19), tj.

$$S_{11} = \frac{1}{2} \cdot (S_{11}^{++} + S_{11}^{+-}) = \frac{1}{2} \cdot \left( \frac{t_{21}^{++}}{t_{11}^{++}} + \frac{t_{21}^{+-}}{t_{11}^{+-}} \right) \quad (3.4.5)$$

$$S_{12} = \frac{1}{2} \cdot (S_{11}^{++} - S_{11}^{+-}) = \frac{1}{2} \cdot \left( \frac{t_{21}^{++}}{t_{11}^{++}} - \frac{t_{21}^{+-}}{t_{11}^{+-}} \right) \quad (3.4.6)$$

$$S_{13} = \frac{1}{2} \cdot (S_{12}^{++} + S_{12}^{+-}) = \frac{1}{2} \cdot \left( \frac{1}{t_{11}^{++}} + \frac{1}{t_{11}^{+-}} \right) \quad (3.4.7)$$

$$S_{14} = \frac{1}{2} \cdot (S_{12}^{++} - S_{12}^{+-}) = \frac{1}{2} \cdot \left( \frac{1}{t_{11}^{++}} - \frac{1}{t_{11}^{+-}} \right), \quad (3.4.8)$$

do kterých se dosadí z (3.4.4) příslušné prvky výsledné  $(t)$  matice při sudém a lichém buzení. Zanedbají-li se ztráty a zvolí se  $l_1 = \frac{\lambda_{g1}}{4}$  a  $l_2 = \frac{\lambda_{g2}}{4}$ , lze pro výsledné S-parametry získat vztahy:

$$S_{11} = \frac{1}{D} \cdot \left( \frac{Z_{v2}}{Z_v} \right)^2 \cdot \left\{ 1 - \left[ \left( \frac{Z_v}{Z_{v2}} \right)^2 - \left( \frac{Z_v}{Z_{v1}} \right)^2 \right]^2 \right\} \quad (3.4.9)$$

$$S_{12} = j \cdot \frac{2}{D} \cdot \frac{Z_{v2}^2}{Z_{v1} \cdot Z_v} \cdot \left[ \left( \frac{Z_v}{Z_{v2}} \right)^2 - \left( \frac{Z_v}{Z_{v1}} \right)^2 - 1 \right] \quad (3.4.10)$$

$$S_{13} = -j \cdot \frac{2}{D} \cdot \frac{Z_{v2}}{Z_v} \cdot \left[ \left( \frac{Z_v}{Z_{v2}} \right)^2 - \left( \frac{Z_v}{Z_{v1}} \right)^2 + 1 \right] \quad (3.4.11)$$

$$S_{14} = -\frac{4}{D} \cdot \frac{Z_{v2}}{Z_{v1}} \quad (3.4.12)$$

kde

$$D = 4 \cdot \left( \frac{Z_{v2}}{Z_{v1}} \right)^2 + \left( \frac{Z_{v2}}{Z_v} \right)^2 \cdot \left[ \left( \frac{Z_v}{Z_{v2}} \right)^2 - \left( \frac{Z_v}{Z_{v1}} \right)^2 + 1 \right]^2 \quad (3.4.13)$$

### Ideální směrová odbočnice

Z požadavku  $S_{11} = 0$  a vztahu (3.4.9) lze získat:

$$\left(\frac{Z_v}{Z_{v2}}\right)^2 - \left(\frac{Z_v}{Z_{v1}}\right)^2 = 1, \quad (3.4.14)$$

pak i, podle vztahu (3.4.10),  $S_{12} = 0$ . Ze vztahů (3.4.12), (3.4.13) a (3.4.13) pak pro vazbu lze odvodit.

$$C = 20 \cdot \log \frac{1}{|S_{14}|} = 20 \cdot \log \frac{1}{\sqrt{1 - \left(\frac{Z_{v2}}{Z_v}\right)^2}} \quad (3.4.15)$$

Průchozí útlum je pak dán vztahem :

$$IL = 20 \cdot \log \frac{1}{|S_{13}|} = 20 \cdot \log \frac{Z_v}{Z_{v2}} \quad (3.4.16)$$

### Syntéza dvoupříčkového vazebního členu

1.  $C, Z_v \rightarrow Z_{v2}$ , podle (3.4.15)
2. Impedanční přizpůsobení  $\rightarrow Z_{v1}$ , podle (3.4.14)
3.  $Z_v, Z_{v1}, Z_{v2}$ , použitý substrát  $\rightarrow$  šířky pásků
4.  $l_1 = \lambda_{g1}/4, l_2 = \lambda_{g2}/4$
5. Korekce na diskontinuity

Příklad 3 dB odbočnice - hybridního členu  $C = IL = 3dB$  potom:

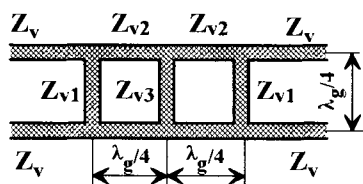
$$Z_{v2} = \frac{Z_v}{\sqrt{2}} \quad \text{a} \quad Z_{v1} = Z_v \quad (3.4.17)$$

### Konstrukční úpravy zlepšující parametry odbočnice

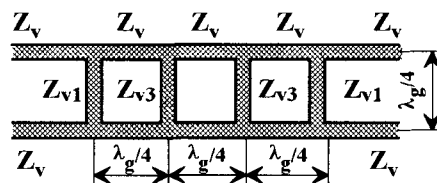
1. Tvarové úpravy
  - ramena ve tvaru meandrových vedení pro zmenšení plochy
  - struktura ve tvaru kruhu
2. Přizpůsobovací pahýly ve vzdálenosti cca  $\lambda_g/4$  od výstupu čtverce pro zvětšení šířky pásma

## b) Vícepříčkové vazební členy.

Reed a Wheeler analyzovali strukturu složenou z více příčkových vazebních členů spojených do kaskády, [55].



Obr. 3.4.3. Třípříčkový vazební člen.



Obr. 3.4.4. Čtyřpříčkový vazební člen.

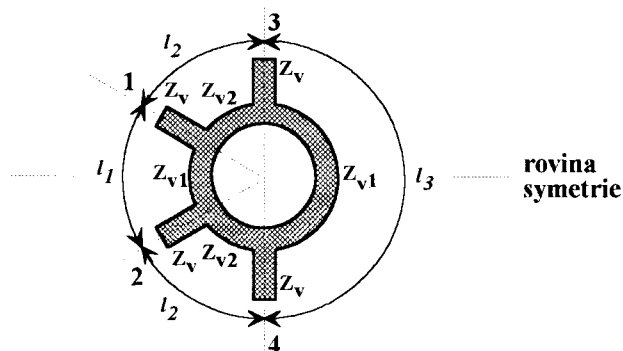
Pro 3 dB verzi třípříčkové odbočnice platí:

$$Z_{v1} = \frac{Z_v}{\sqrt{2}-1}, \quad Z_{v2} = Z_{v3} = \frac{Z_v}{\sqrt{2}} \quad (3.4.18)$$

Pro 3 dB čtyřpříčkovou odbočnici platí:

$$Z_{v1} = \frac{Z_v}{0,2346}, \quad Z_{v3} = \frac{Z_v}{0,5412} \quad (3.4.19)$$

## 3.5. Kruhový vazební člen (Magic Tee Coupler, Rat-Race Coupler).



Obr. 3.5.1.

Směrová odbočnice s jednou rovinou symetrie. Směrovost 2. druhu.

Obdobně jako u příčkového vazebního členu lze odvodit obecné vztahy pro S-parametry.

### Zjednodušené vztahy pro S-parametry.

Při zanedbání ztrát a volbě

$$l_1 = \lambda_{g1}/4, \quad l_2 = \lambda_{g2}/4, \quad l_3 = 3\lambda_{g1}/4 \quad (3.5.1)$$

je celková délka prstence  $3\lambda_g/2$ .

Potom:

Při buzení do brány 1 resp. (2) jsou výstupní signály v branách 2 a 3 resp. (1 a 4) ve fázi.

Při buzení do brány 3 resp. (4) jsou výstupní signály v branách 1 a 4 resp. (2 a 3) v protifázi.



Rozptylová matice struktury je tedy:

$$(S) = \begin{pmatrix} S_{11} & S_{12} & S_{13} & 0 \\ S_{12} & S_{11} & 0 & S_{13} \\ S_{13} & 0 & S_{33} & S_{34} \\ 0 & S_{13} & S_{34} & S_{33} \end{pmatrix} \quad (3.5.2)$$

Obecné vztahy pro S-parametry struktury odvozené v [59] pro obecné délky úseků vedení lze při podmínce (3.5.1) zjednodušit, [59], [7], na:

$$S_{11} = S_{33} = \frac{(Z_{v1}Z_{v2})^2 - (Z_{v1}Z_v)^2 - (Z_{v2}Z_v)^2}{(Z_{v1}Z_{v2})^2 + (Z_{v1}Z_v)^2 + (Z_{v2}Z_v)^2} \quad (3.5.3)$$

$$S_{12} = -S_{34} = -j \cdot \frac{2Z_{v1} \cdot Z_{v2}^2 \cdot Z_v}{(Z_{v1}Z_{v2})^2 + (Z_{v1}Z_v)^2 + (Z_{v2}Z_v)^2} \quad (3.5.4)$$

$$S_{13} = -j \cdot \frac{2 \cdot Z_{v1}^2 \cdot Z_{v2} \cdot Z_v}{(Z_{v1}Z_{v2})^2 + (Z_{v1}Z_v)^2 + (Z_{v2}Z_v)^2} \quad (3.5.5)$$

$$S_{14} = 0 \quad (3.5.6)$$

### Ideální směrová odbočnice

Při požadovaných  $S_{11} = S_{33} = 0$  lze z (3.5.3) až (3.5.5) odvodit:

Impedanční přizpůsobení.

$$\left(\frac{Z_v}{Z_{v1}}\right)^2 + \left(\frac{Z_v}{Z_{v2}}\right)^2 = 1 \quad (3.5.7)$$

Vazba.

$$C = 20 \log \frac{1}{|S_{12}|} = 20 \log \frac{1}{|S_{34}|} = 20 \log \frac{Z_{v1}}{Z_v} \quad (3.5.8)$$

Průchozí útlum.

$$IL = 20 \log \frac{1}{|S_{13}|} = 20 \log \frac{Z_{v2}}{Z_v} \quad (3.5.9)$$

### Syntéza kruhového hybridního členu

1.  $C, Z_v \rightarrow Z_{v1}$  podle (3.5.8)
2. Impedanční přizpůsobení  $\rightarrow Z_{v2}$  podle (3.5.7)

3.  $Z_v$ ,  $Z_{v1}$ ,  $Z_{v2}$ , použitý substrát  $\rightarrow$  šířky pásků

4.  $l_1 = \lambda_{g1}/4$ ,  $l_2 = \lambda_{g2}/4$ ,  $l_3 = 3 \cdot \lambda_{g1}/4$

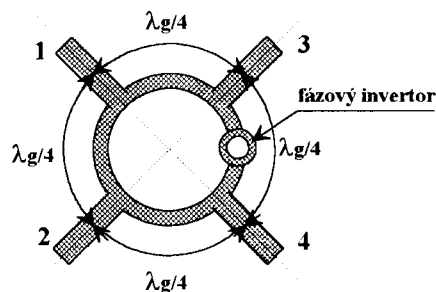
5. Korekce na diskontinuity

Příklad 3 dB odbočnice (hybridního členu).

$$C = IL = 3dB \rightarrow Z_{v1} = Z_{v2} = \sqrt{2} \cdot Z_v \text{ a také } \lambda_{g1} = \lambda_{g2} \quad (3.5.10)$$

### Konstrukční úpravy

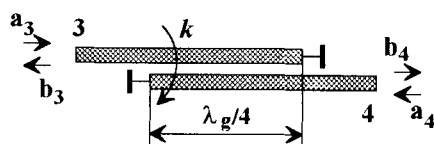
1. Na nízkých kmitočtech lze pro zmenšení ro plochy zabírané strukturou realizovat úseky vedení pomocí meandrového vedení.
2. Na vysokých kmitočtech mohou vycházet  $\lambda_g/4$  úseky konstrukčně příliš krátké. Lze pak realizovat odbočnici ze tří úseků  $3\lambda_g/4$  a jednoho úseku  $5\lambda_g/4$ .
3. Použitelné kmitočtové pásmo lze výrazně zvýšit náhradou  $3\lambda_g/4$  dlouhého úseku vedení úsekem vedení délky  $\lambda_g/4$  a fázovým invertorem.



Obr. 3.5.2.

Realizace fázového invertoru:

- pomocí **vázaných vedení**



Obr. 3.5.3.

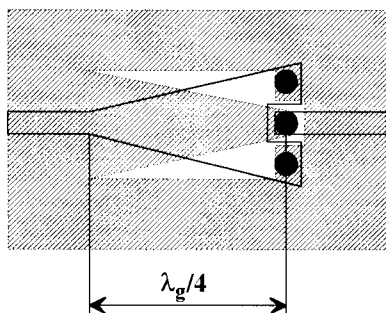
Platí: 
$$\frac{b_4}{a_3} = j \cdot 2k \sqrt{1 - k^2}$$

$$\frac{b_3}{a_3} = \frac{b_4}{a_4} = 1 - 2k^2 \quad (3.5.11)$$

Fázový posuv úseku vedení mezi bránami odbočnice 3 a 4 je nyní pouze  $90^\circ$

Pro 3 dB vazbu je  $k = \frac{1}{\sqrt{2}}$  a  $\frac{b_4}{a_3} = j$ ;  $\frac{b_3}{a_3} = \frac{b_4}{a_4} = 0$

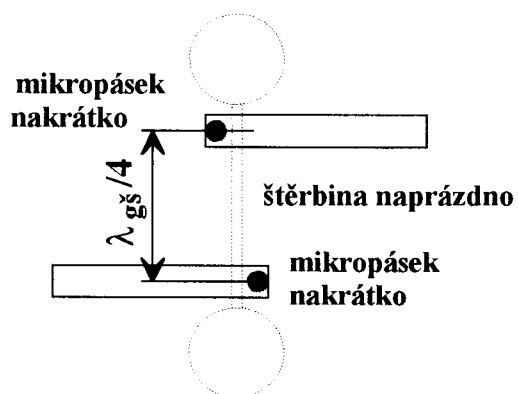
- pomocí "překřížených" mikropásků



Obr. 3.5.4.

Překřížení a délka vedení  $\lambda_g/4$  umožňují fázový posun  $90^\circ$ .

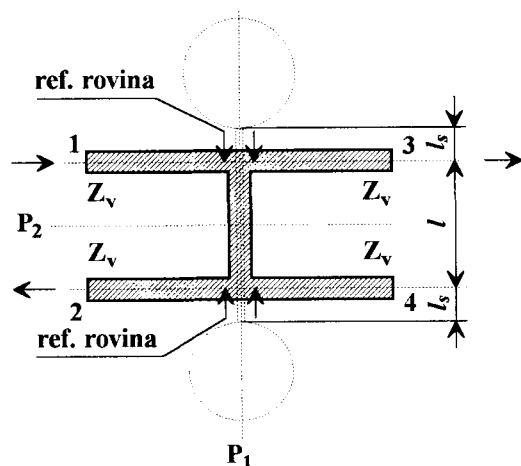
- kombinací mikropáskového a štěrbinového vedení



Obr. 3.5.5.

Dvojnásobný přechod (mikropásek - štěrbina, štěrbina - mikropásek) realizuje otočení fáze, štěrbina dlouhá  $\lambda_g/4$  pak potřebný fázový posun.

### 3.6. Kombinovaný hybridní člen (de Ronde Coupler)



Obr. 3.6.1

Kombinace mikropáskového a štěrbinového vedení. Strukturu navrhl de Ronde [60]. Směrnost 2. druhu.

#### Princip činnosti

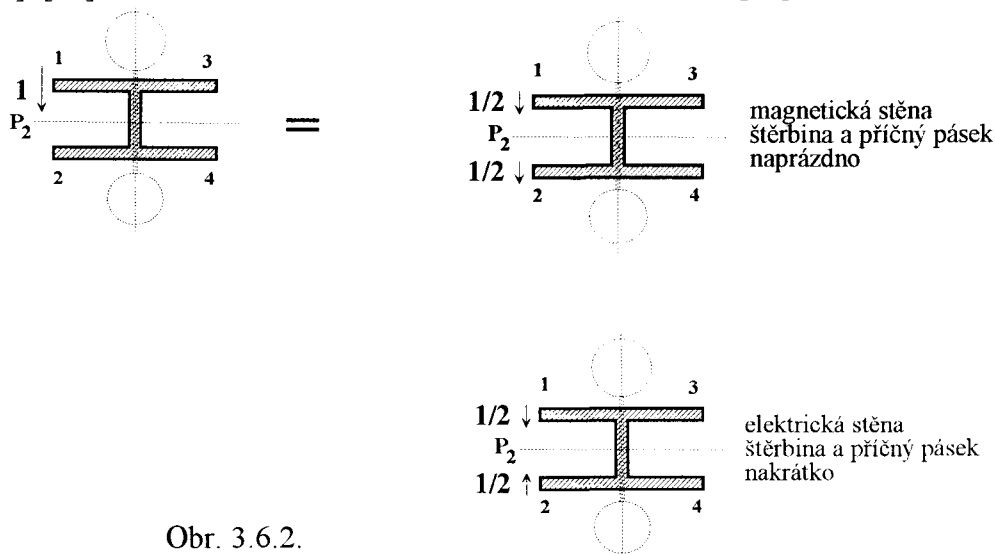
Při buzení do brány 1 vlna prochází do brány 3. Do sousedního vedení 2 - 4 se vlna dostává dvěma cestami.

1. přes příčný mikropásek - vlny v ramenech 2 a 4 se šíří v opačných směrech se stejnou fází
2. přes příčnou štěrbinu - vlny v ramenech 2 a 4 se šíří s **opačnou** fází (dvojnásobný přechod mikropásek štěrbina vytváří fázový invertor)

V rameni 2 se vlny setkávají ve stejné fázi a sčítají se. V rameni 4 se vlny setkávají v opačné fázi a ruší se. Rameno 4 je tedy od ramene 1 izolováno.

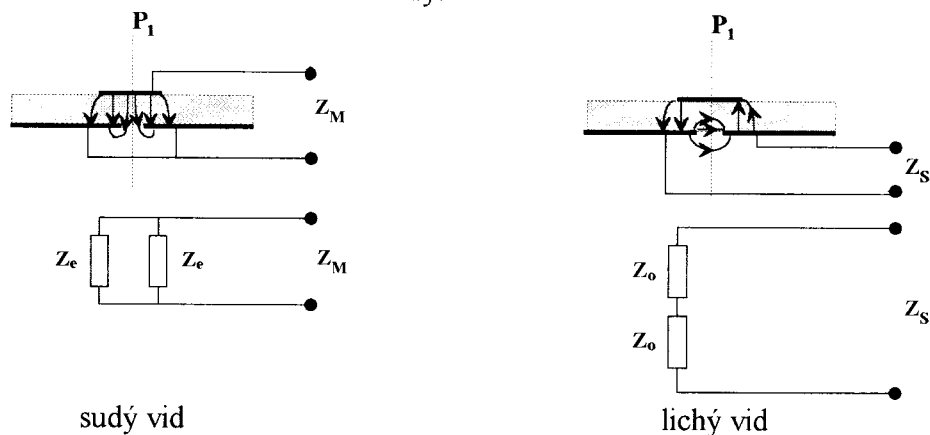
#### Odvození S-parametrů

Přibližnou analýzu navrhl Schienk, [61], [62]. Nejúplnější analýzu provedl Hoffmann a Siegel, [63], [64]. Použili metodu navrženou Reedem a Wheelerem [55], viz obr. 3.3.2.



Obr. 3.6.2.

Na vazební sekci se mohou šířit 2 vidy.

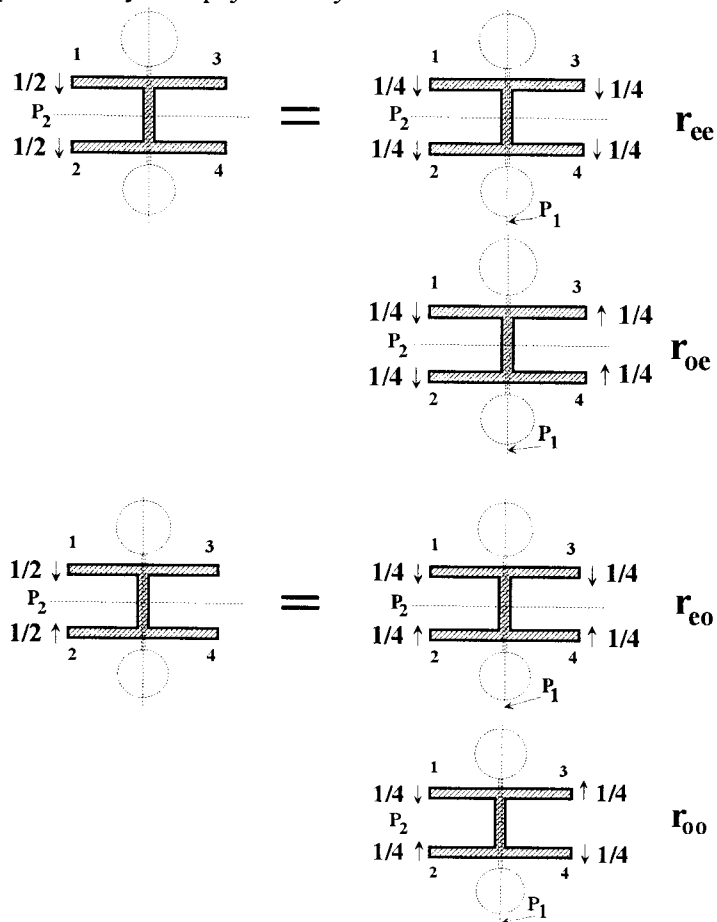


Obr. 3.6.3.

Vlnový odpor:      sudého vidu  $Z_M$        $Z_e = 2Z_M$   
                              lichého vidu  $Z_S$        $Z_o = \frac{Z_S}{2}$       (3.6.1)

Kde  $Z_e$  je vlnový odpor 1/2 vazební sekce při sudém napájení a  $Z_o$  je vlnový odpor 1/2 vazební sekce při lichém napájení

Při nesymetrickém buzení vazební sekce (z levé strany) se vybudí oba vidy. Výsledné pole na vazební sekci lze chápat opět jako superpozici 2 dílčích polí vzniklých soufázovým a protifázovým napájením čtyř bran vzhledem k rovině  $P_1$  s amplitudou 1/4.



Obr. 3.6.4.

Pro výsledné S-parametry v referenčních rovinách vyznačených na obr. 3.6.1. šipkami pak platí vzhledem k superpozici 4 dílčích polí:

$$S_{11} = (r_{ee} + r_{eo} + r_{oe} + r_{oo})/4 \quad (3.6.2)$$

$$S_{21} = (r_{ee} - r_{eo} + r_{oe} - r_{oo})/4 \quad (3.6.3)$$

$$S_{31} = (r_{ee} + r_{eo} - r_{oe} - r_{oo})/4 \quad (3.6.4)$$

$$S_{41} = (r_{ee} - r_{eo} - r_{oe} + r_{oo})/4 \quad (3.6.5)$$

Parametry  $r_{ee}$ ,  $r_{eo}$ ,  $r_{oe}$ ,  $r_{oo}$  představují vstupní koeficienty odrazu vedení dlouhých  $l/2$  odpovídajících  $1/2$  šířky vazební sekce a vztahených k vlnovému odporu  $Z_v$ .

Například.

$r_{ee}$  - koeficient odrazu  $1/2$  vazební sekce při sudém vybuzení podle roviny P1. Vazební sekce je zakončená otevřeným koncem v  $1/2$  délky  $l$  (to odpovídá sudému vybuzení podle roviny P2).

$r_{oe}$  - koeficient odrazu  $1/2$  vazební sekce při lichém vybuzení podle roviny P1. Vazební sekce je zakončená otevřeným koncem v  $1/2$  délky (to odpovídá sudému vybuzení podle roviny P2).

Určení  $r_{ij}$ .

Vstupní impedance vedení zakončeného:

$$\text{nakrátko} \quad - \quad Z_k = jZ_x \cdot \operatorname{tg} \alpha l_x \quad (3.6.6)$$

$$\text{naprázdno} \quad - \quad Z_k = -jZ_x \cdot \operatorname{cotg} \alpha l_x \quad (3.6.7)$$

$$\text{odpovídající koeficient odrazu} \quad - \quad \rho = \frac{Z - Z_v}{Z + Z_v} \quad (3.6.8)$$

$$\text{Necht' } \alpha l_x \sim \frac{\vartheta_e}{2} = \frac{2\pi}{\lambda_{ge}} \cdot \frac{l}{2}, \text{ resp. } \alpha l_x \sim \frac{\vartheta_o}{2} = \frac{2\pi}{\lambda_{go}} \cdot \frac{l}{2}, \quad (3.6.9)$$

potom:

$$r_{ee} = \frac{-j2Z_M \cdot \operatorname{cotg}\left(\frac{\vartheta_e}{2}\right) - Z_v}{-j \cdot 2Z_M \cdot \operatorname{cotg}(\vartheta_e) + Z_v} = |1| \cdot \frac{\exp\left[j \cdot \operatorname{arctg}\left(\frac{-Z_v}{2Z_M \cdot \operatorname{cotg}\left(\frac{\vartheta_e}{2}\right)}\right)\right]}{\exp\left[j \cdot \operatorname{arctg}\left(\frac{+Z_v}{2Z_M \cdot \operatorname{cotg}\left(\frac{\vartheta_e}{2}\right)}\right)\right]} = e^{-j \cdot 2 \operatorname{arctg}\left[\frac{Z_v}{2Z_M \cdot \operatorname{cotg}\left(\frac{\vartheta_e}{2}\right)}\right]} \quad (3.6.10)$$

Obdobně

$$r_{eo} = \frac{j2Z_M \cdot \operatorname{tg}\left(\frac{\vartheta_e}{2}\right) - Z_v}{j2Z_M \cdot \operatorname{tg}\left(\frac{\vartheta_e}{2}\right) + Z_v} = e^{+j \cdot 2 \operatorname{arctg}\left[\frac{Z_v}{2Z_M \cdot \operatorname{tg}\left(\frac{\vartheta_e}{2}\right)}\right]} \quad (3.6.11)$$

$$r_{oe} = \frac{-j\frac{Z_S}{2} \cdot \cotg\left(\frac{\vartheta_o}{2}\right) - Z_v}{-j\frac{Z_S}{2} \cdot \cotg\left(\frac{\vartheta_o}{2}\right) + Z_v} = e^{-j \cdot 2 \arctg\left[\frac{2Z_v}{Z_S \cdot \cotg\left(\frac{\vartheta_o}{2}\right)}\right]} \quad (3.6.12)$$

$$r_{oo} = \frac{j\frac{Z_S}{2} \cdot \tg\left(\frac{\vartheta_o}{2}\right) - Z_v}{j\frac{Z_S}{2} \cdot \tg\left(\frac{\vartheta_o}{2}\right) + Z_v} = e^{j \cdot 2 \arctg\left[\frac{2Z_v}{Z_S \cdot \tg\left(\frac{\vartheta_o}{2}\right)}\right]} \quad (3.6.12)$$

U směrového vazebního členu by mělo být  $S_{11} = 0$  a  $S_{41} = 0$ . Při uplatnění těchto podmínek v (3.6.2) a (3.6.5) lze získat:

$$\begin{aligned} r_{ee} &= -r_{oo} \\ r_{eo} &= -r_{oe} \end{aligned} \quad (3.6.13)$$

To po dosazení za  $r_{ee}$ ,  $r_{eo}$ ,  $r_{oe}$ ,  $r_{oo}$  (3.5.10) až (3.5.12) poskytne rovnici:

$$\frac{-j2Z_M \cotg\left(\frac{\vartheta_e}{2}\right) - Z_v}{-j2Z_M \cdot \cotg\left(\frac{\vartheta_e}{2}\right) + Z_v} = - \frac{j \cdot \frac{1}{2} \cdot Z_S \cdot \tg\left(\frac{\vartheta_o}{2}\right) - Z_v}{j \cdot \frac{1}{2} \cdot Z_S \cdot \tg\left(\frac{\vartheta_o}{2}\right) + Z_v}, \quad (3.6.14)$$

která má řešení:

$$\vartheta_e = \vartheta_o \Rightarrow v_{fe} = v_{fo} \quad (3.6.15)$$

a současně

$$Z_v = \sqrt{Z_M \cdot Z_S} \quad (3.6.16)$$

Vztah (3.6.16) lze splnit u reálné odbočnice, podmínce (3.6.15) se lze u reálné odbočnice pouze přiblížit.

### Ideální směrová odbočnice

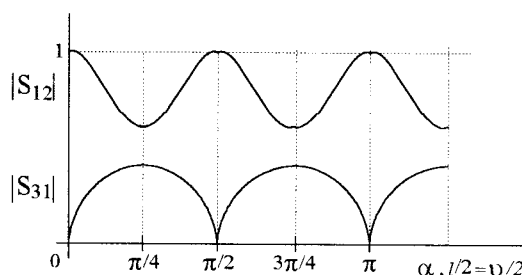
V ideálním případě za předpokladu  $\vartheta_e = \vartheta_o = \vartheta$  by platilo:

$$S_{21} = \frac{\sqrt{1-k^2}}{\sqrt{1-k^2} \cos \vartheta + j \sin \vartheta} \quad (3.6.17)$$

$$S_{31} = \frac{jk \sin \vartheta}{\sqrt{1-k^2} \cos \vartheta + j \sin \vartheta} \quad (3.6.18)$$

kde

$$k = \frac{Z_e - Z_o}{Z_e + Z_o} = \frac{4Z_M - Z_S}{4Z_M + Z_S} \quad (3.6.19)$$



Obr. 3.6.5. Závislost S-parametrů odbočnice na délce vazebního úseku.

Nejmenší kmitočtová závislost  $S_{12}$  a  $S_{21}$

$$\alpha \cdot \frac{l}{2} = \frac{\pi}{4} \Rightarrow l = \frac{\lambda_g}{4} \quad (3.6.20)$$

Na střední frekvenci:

$$S_{21} = -j \cdot \sqrt{1 - k^2} \quad (3.6.21)$$

$$S_{31} = k \quad (3.6.22)$$

Příklad 3 dB odbočnice:

$$20 \cdot \log \frac{1}{|S_{21}|} = 3 \text{ dB} \Rightarrow |S_{21}| = 0,707$$

$$20 \log \frac{1}{|S_{31}|} = 3 \text{ dB} \Rightarrow |S_{31}| = 0,707 = k \quad (3.6.23)$$

Pro  $Z_V = 50 \Omega$ , při platnosti (3.6.16) a (3.6.19)

$$Z_M = 60,35 \Omega$$

$$Z_S = 41,40 \Omega \quad (3.6.24)$$

### Konstrukční úpravy

Jak se přiblížit podmínce (3.6.15), tj.  $v_{fe} = v_{fo}$ ?

- na konci štěrbin se připojují kapacity realizované úsekem štěrbinového vedení délky  $l_S$ , viz obr.3.6.1.
- ze spodní strany např. vodivým diskem zvýšena kapacita napříč štěrbinou